

УДК 538.915:548.312.5:544.032.3

**ПЕРВОПРИНЦИПНОЕ ИССЛЕДОВАНИЕ ВЛИЯНИЯ ДАВЛЕНИЯ
НА СТРУКТУРНЫЕ И ЭЛЕКТРОННЫЕ СВОЙСТВА
КРИСТАЛЛИЧЕСКОГО ОРГАНИЧЕСКОГО АЗИДА $C_{10}H_8N_6O_4$**

И.А. Федоров, Ю.Н. Журавлëв

Кемеровский государственный университет, Россия
E-mail: ifedorov@kemsu.ru

Статья поступила 27 января 2016 г.

В рамках теории функционала плотности с учетом дисперсионного взаимодействия определены параметры кристаллической структуры органического азида $C_{10}H_8N_6O_4$. Исследовано влияние давления в интервале 0–20 ГПа на его структурные и электронные свойства. Определены параметры уравнения состояния в модели Винета и Берча–Мурнагана. В рамках метода квазичастиц (G_0W_0) выполнен расчет энергетической зонной структуры. Показано, что гидростатическое давление в 20 ГПа приводит к сближению плоскостей молекул $C_{10}H_8N_6O_4$ и их смещению относительно друг друга и это сопровождается уширением верхних валентных зон и уменьшением ширины запрещенной зоны с 5,07 до 3,97 эВ.

DOI: 10.15372/JSC20160603

Ключевые слова: органические азиды, дисперсионные силы, теория функционала плотности, уравнение состояния, давление, электронное строение.

ВВЕДЕНИЕ

Органические азиды представляют собой богатые энергией соединения, которые широко используются как источники химически чистого азота, взрывчатые вещества, компоненты ракетного топлива, в пиротехнике и биомедицине [1—4]. По этой причине ведется интенсивный поиск новых соединений данного класса. Так, в недавней работе [5] была впервые определена кристаллическая структура $C_{10}H_8N_6O_4$. Его молекула является ароматической, азидные группы прикрепляются к бензольному кольцу. В этом плане исследование влияния давления на физико-химические свойства $C_{10}H_8N_6O_4$ представляет как фундаментальный для всего класса органических молекулярных кристаллов [6, 7] интерес, так и практический с точки зрения изучения эффектов давления на возможность полимеризации молекул N₆ [8, 9]. Целью данной работы является исследование влияния давления на структурные и электронные свойства кристаллического $C_{10}H_8N_6O_4$.

На рис. 1 представлена кристаллическая ячейка кристалла $C_{10}H_8N_6O_4$. В триклинической элементарной ячейке (пр. группа симметрии $P\bar{1}$) содержится одна молекула $C_{10}H_8N_6O_4$, которая имеет центр инверсии.

МЕТОД РАСЧЕТА

Метод DFT-D3(BJ) позволяет в рамках теории функционала плотности учитывать дисперсионное взаимодействие. Основная идея заключается в добавлении эмпирического потенциала вида C_nR^{-n} (R — расстояние между атомами различных молекул; C_n — коэффициенты мульти-

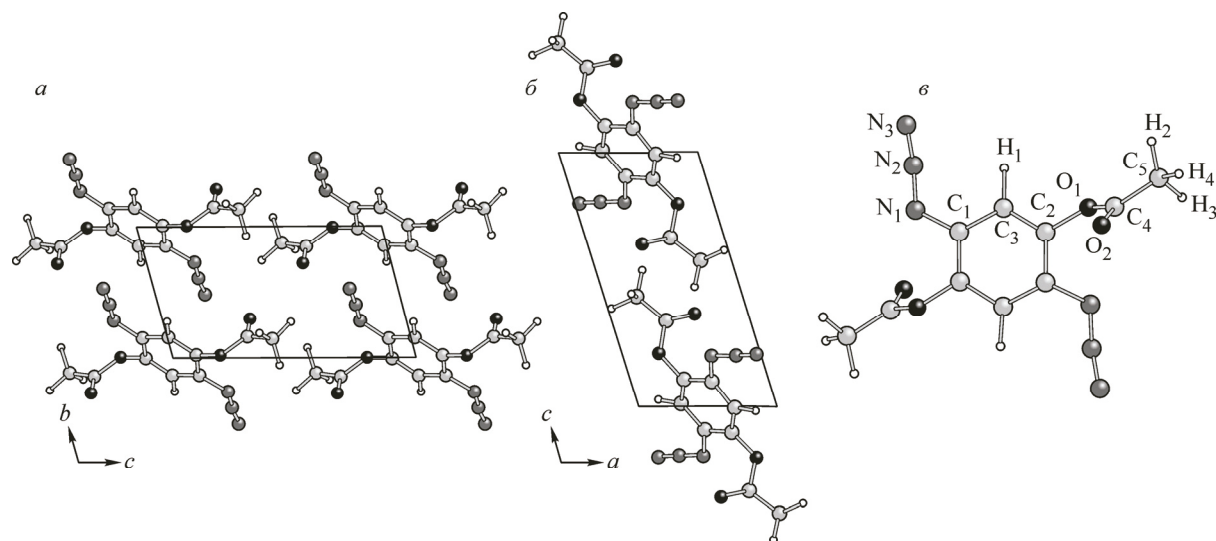


Рис. 1. Проекции кристаллической ячейки C₁₀H₈N₆O₄ на плоскости bc (а) и ac (б). Молекула C₁₀H₈N₆O₄ в кристалле (в)

польного разложения ($n = 6, 8$) к обменно-корреляционному потенциалу [10]. Полная энергия определяется следующим образом:

$$E_{\text{DFT-D}} = E_{\text{KS-DFT}} + E_{\text{disp}}, \quad (1)$$

где $E_{\text{KS-DFT}}$ — энергия, полученная в результате самосогласованного решения уравнения Кона—Шэма с соответствующим функционалом плотности; E_{disp} — дисперсионная энергия. Данную схему использовали при исследовании углеводородов [11—13] и энергетических материалов [14, 15], а полученные результаты имели хорошее согласие с экспериментальными данными. Кроме этого использовался функционал плотности rev-vdW-DF2 [16—20], который также включает дисперсионное взаимодействие.

Оптимизацию параметров решетки выполняли с использованием пакета Quantum ESPRESSO [21]. Вычисления полной энергии проведены методом псевдопотенциала в рамках теории функционала плотности в параметризации PBE [22] для обменно-корреляционной энергии. В качестве базиса использовались плоские волны с энергией не больше 65 Ry. Для представления зоны Бриллюэна использовали метод Монхорста—Пака [23] с сеткой из 4×4×2 k-точек. В качестве начальной структуры при оптимизации геометрии задавались экспериментальные данные [5]. Ошибка в вычислении полной энергии составила меньше 5 мэВ/атом. Расчет зонной структуры выполняли в рамках метода квазичастиц [24, 25] с использованием пакета YAMBO [26].

РЕЗУЛЬТАТЫ И ИХ ОБСУЖДЕНИЕ

В табл. 1 приведены вычисленные двумя методами и экспериментальные значения параметров кристаллической ячейки C₁₀H₈N₆O₄. Наблюдается хорошее согласие, что позволяет сде-

Таблица 1

Сопоставление вычисленных и экспериментальных значений параметров ячейки a, b, c (Å), углов α, β, γ (град.) и объема элементарной ячейки V (Å³) C₁₀H₈N₆O₄

Метод	a	b	c	α	β	γ	V
Экспер. [5]	5,4293	5,5678	10,4945	101,508	104,544	97,057	295,857
Rev-vdW-DF2	5,4139	5,5684	10,5027	102,098	105,282	96,912	293,420
DFT-D3(BJ)	5,4828	5,6270	10,5495	102,194	104,535	96,410	303,246

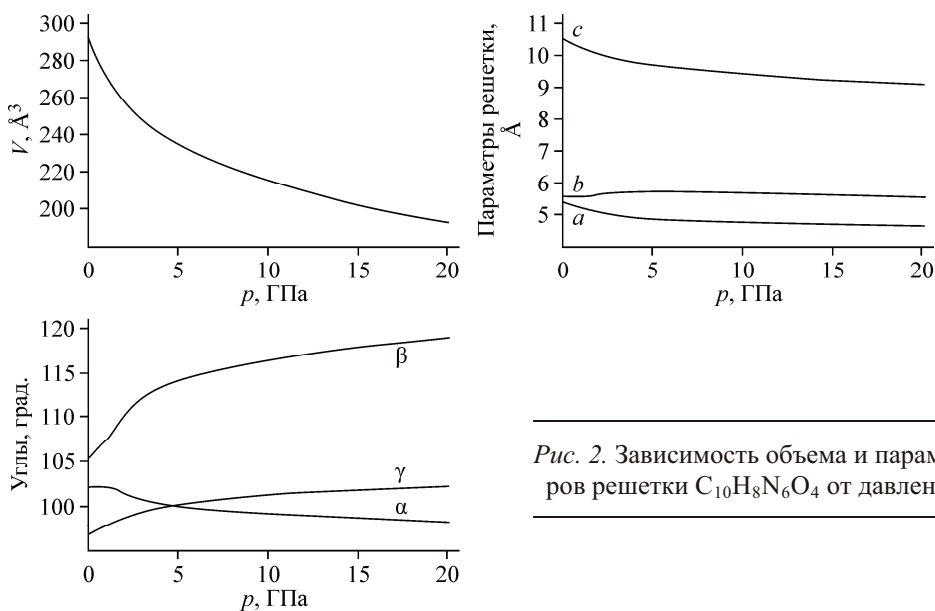


Рис. 2. Зависимость объема и параметров решетки $\text{C}_{10}\text{H}_8\text{N}_6\text{O}_4$ от давления

лять вывод о том, что учет ван-дер-ваальсова взаимодействия предсказывает корректные параметры кристаллической структуры сложных органических азидов.

На рис. 2 приведены зависимости объема и параметров ячейки $\text{C}_{10}\text{H}_8\text{N}_6\text{O}_4$ от давления. Силы Ван-дер-Ваальса, которые удерживают молекулы в кристалле, очень малы, поэтому в области давлений 0—3 ГПа наблюдается быстрое уменьшение объема кристаллической ячейки. Данный факт характерен для большинства молекулярных кристаллов [11—15]. Последующее сжатие кристалла приводит к возрастанию отталкивания между молекулами, что связано со сближением атомов соседних молекул, и при давлении 10 и 20 ГПа объем уменьшается на 29 и 36 % соответственно.

При исследовании влияния давления на структурные свойства кристаллов традиционно используют различные формы уравнения состояний, параметрами которых являются: равновесный объем кристалла V_0 , объемный модуль сжатия B_0 и его первая производная B'_0 . В табл. 2 приведены параметры для уравнения Винета [27] и Берча—Мурнагана [28]. Определив структурные параметры кристалла $\text{C}_{10}\text{H}_8\text{N}_6\text{O}_4$ с учетом внешнего давления, становится возможным исследовать влияния деформаций на его электронные свойства.

Важными характеристиками химической связи являются расстояния между атомами (табл. 3) и атомные заряды (табл. 4). Внешнее давление приводит к сокращению расстояния между атомами азота внутри азидной группы. Значение угла $\angle \text{N}_1—\text{N}_2—\text{N}_3$ увеличивается с ростом давления до 20 ГПа примерно на $0,5^\circ$. В случае кристалла HN_3 [15] значение данного угла стремится к 180° , как в линейном азид-ионе [29]. Угол $\angle \text{N}_2—\text{N}_1—\text{H}$ практически не изменяется.

Расстояние между слоями в отсутствие давления равно $3,24 \text{ \AA}$. Давление 10 и 20 ГПа приводит к их сближению на $2,42$ и $2,25 \text{ \AA}$ соответственно. Увеличение гидростатического давле-

Таблица 2

Вычисленные значения параметров $V (\text{\AA}^3)$, B_0 (ГПа) и B'_0
для уравнения состояния кристаллов $\text{C}_{10}\text{H}_8\text{N}_6\text{O}_4$

Метод	V_0	Берча—Мурнагана		Винета	
		B_0	B'_0	B_0	B'_0
Rev-vdW-DF2	293,420	8,93	9,32	9,42	8,19
DFT-D3(BJ)	303,246	6,95	9,89	7,57	8,32

Таблица 3

Влияние давления (ГПа) на значения длин связей (Å) и углов (град.) кристалла $C_{10}H_8N_6O_4$

P	N ₁ —C ₁	N ₁ —N ₂	N ₂ —N ₃	C ₂ —O ₁	C ₄ —C ₅	∠N ₁ —N ₂ —N ₃	∠N ₂ —N ₁ —C ₁	∠C ₂ —O ₁ —C ₄
0	1,406	1,232	1,146	1,393	1,490	172,585	118,866	117,581
10	1,395	1,225	1,142	1,379	1,462	172,379	118,712	117,181
20	1,386	1,221	1,138	1,368	1,444	173,139	117,804	116,294

Таблица 4

Атомные заряды для кристалла $C_{10}H_8N_6O_4$, вычисленные по схеме Левдина ($|e|$)

P	O ₁	O ₂	N ₁	N ₂	N ₃	C ₁	C ₂	C ₃	C ₄	C ₅	H ₁
0	-0,218	-0,349	-0,174	0,419	-0,095	0,133	0,209	-0,143	0,515	-0,436	0,189
10	-0,221	-0,340	-0,163	0,419	-0,109	0,122	0,190	-0,143	0,494	-0,436	0,187
20	-0,217	-0,336	-0,158	0,419	-0,113	0,116	0,179	-0,144	0,485	-0,437	0,187

ния также сопровождается смещением слоев относительно друг друга. Это приводит к сближению молекул, но при этом сами они практически не деформируются. При обычных условиях кратчайшее расстояние между атомом азота одной молекулы и водорода другой равно 2,59 Å. Под давлением 10 и 20 ГПа оно сокращается до 2,20 и 2,01 Å соответственно.

Заряды всех атомов водорода положительные, а кислорода — отрицательные. Так же отрицательным зарядом обладают крайние атомы азота N₁ и N₃ в азидной группе. Давление не оказывает влияния на заселенность центрального атома N₂. Атом углерода C₃ имеет sp^2 -гибридизацию атомных орбиталей и отрицательный заряд. Также отрицательный заряд имеет атом C₅, который связан с C₄ и тремя атомами водорода (sp^3 -гибридизация). Давление практически не меняет значения зарядов C₃ и C₅. В целом, заряды изменяются слабо, что свидетельствует о том, что даже при давлении 20 ГПа молекулы сохраняют свою индивидуальность.

Структурные изменения, вызванные гидростатическим давлением, должны отражаться и в электронном энергетическом спектре. На рис. 3 представлена плотность состояний $C_{10}H_8N_6O_4$ в отсутствие и при давлении 10 и 20 ГПа. Вершина валентной зоны выбрана за начало отсчета по шкале энергии.

Ширина запрещенной зоны кристаллического $C_{10}H_8N_6O_4$ равна 2,76 эВ. Минимальный межзонный переход имеет прямой характер. Как известно, градиентное приближение функционала плотности приводит к занижению ширины запрещенной зоны, поэтому мы также выполнили расчет в рамках метода квазичастиц G_0W_0 . В данном случае значение ширины запрещенной зоны равно 5,07 эВ. Все зоны имеют слабую дисперсию, что является характерной особенностью молекулярных кристаллов.

Сжатие кристалла приводит к расщеплению и смещению энергетических уровней, а также увеличению их дисперсии. При этом происходит перекрывание энергетических зон, что проявляется в исчезновении некоторых запрещенных интервалов энергий в плотности состояний. Также давление приводит к уменьшению ширины энергетической щели для $C_{10}H_8N_6O_4$: при давлении 10 ГПа она равна 4,40, а при 20 ГПа — 3,97 эВ.

ЗАКЛЮЧЕНИЕ

В рамках теории функционала плотности с учетом дисперсионного взаимодействия исследовано влияние давления на параметры ячейки и расстоя-

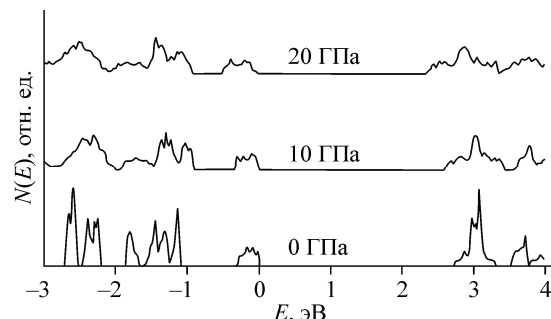


Рис. 3. Плотность состояния $C_{10}H_8N_6O_4$

ния между атомами кристалла $C_{10}H_8N_6O_4$. С помощью уравнения состояния Винета установлено, что молекулярный кристалл $C_{10}H_8N_6O_4$ имеет объемный модуль сжатия равный 9,42 ГПа. Гидростатическое давление приводит к сближению плоскостей молекул $C_{10}H_8N_6O_4$ и их смещению относительно друг друга. При этом наблюдается уширение верхних валентных энергетических зон и уменьшение ширины запрещенной зоны с 5,07 до 3,97 эВ при 20 ГПа.

Работа выполнена при финансовой поддержке государственного задания № 3.1235.2014К.

Все расчеты были выполнены в центре коллективного пользования "Высокопроизводительные параллельные вычисления" КемГУ (icp.kemsu.ru).

СПИСОК ЛИТЕРАТУРЫ

1. Bräse S., Banert K. (eds.) Front Matter, in Organic Azides: Syntheses, Applications. – Chichester, UK: John Wiley & Sons, Ltd, 2009.
2. Зарко В.Е. // Физика горения и взрыва. – 2010. – **46**, № 2. – С. 1 – 14. [Zarko V.E. // Combust., Expl., Shock Waves. – 2010. – **46**, N 2. – P. 121 – 131.]
3. Большова Т.А., Палецкий А.А., Коробейников О.П., Князев В.Д. // Физика горения и взрыва. – 2014. – **50**, № 1. – С. 3 – 12. [Bolshova T.A., Paletsky A.A., Korobeinichev O.P., Knyazev V.D. // Combust., Expl., Shock Waves. – 2014. – **50**, N 1. – P. 10 – 24.]
4. Dorofeeva O.V., Ryzhova O.N., Suntsova M.A. // J. Phys. Chem. A. – 2013. – **117**, N 31. – P. 6835 – 6845.
5. Glocklhofer F., Frohlich J., Stoger B., Weil M. // Acta Cryst. E. – 2014. – **70**. – P. 39 – 42.
6. Vener M.V., Levina E.O., Astakhov A.A., Tsirelson V.G. // Chem. Phys. Lett. – 2015. – **638**. – P. 233 – 236.
7. Binns J., Healy M.R., Parsons S., Morrison C.A. // Acta Cryst. B. – 2014. – **70**. – P. 259 – 267.
8. Zhang J., Zeng Z., Lin H.-Q., Li Y.-L. // Scient. Rep. – 2014. – **4**. – P. 4358.
9. Wang X., Li J., Botana J. et al. // J. Chem. Phys. – 2013. – **139**. – P. 164710.
10. Grimme S., Antony J., Ehrlich S., Krieg H. // J. Chem. Phys. – 2010. – **132**. – P. 154104.
11. Журавлев Ю.Н., Федоров И.А., Киямов М.Ю. // Журн. структур. химии. – 2012. – **53**, № 3. – С. 425 – 431. [Zhuravlev Yu.N., Fedorov I.A., Kiyamov M.Yu. // J. Struct. Chem. – 2012. – **53**, N 3. – P. 417 – 423.]
12. Fedorov I.A., Zhuravlev Y.N., Berveno V.P. // Phys. Status Solidi B. – 2012. – **249**. – P. 1438.
13. Fedorov I.A., Zhuravlev Y.N., Berveno V.P. // J. Chem. Phys. – 2013. – **138**. – P. 094509.
14. Fedorov I.A., Zhuravlev Y.N. // Chem. Phys. – 2014. – **436-437**. – P. 1 – 7.
15. Федоров И.А., Журавлев Ю.Н., Киселева Е.А. // Журн. структур. химии. – 2016. – **57**, № 1. – С. 7 – 14.
16. Dion M., Rydberg H., Schroder E. et al. // Phys. Rev. Lett. – 2004. – **92**. – P. 246401.
17. Lee K., Murray E.D., Kong L. et al. // Phys. Rev. B. – 2010. – **22**. – P. 081101.
18. Thonhauser T., Cooper V.R., Li S. et al. // Phys. Rev. B. – 2007. – **76**. – P. 125112.
19. Roman-Perez G., Soler J.M. // Phys. Rev. Lett. – 2009. – **103**. – P. 096102.
20. Hamada I. // Phys. Rev. B. – 2014. – **89**. – P. 121103.
21. Giannozzi P., Baroni S., Bonini N. et al. // J. Phys.: Condens. Matter. – 2009. – **21**. – P. 395502.
22. Perdew J.P., Burke K., Ernzerhof M. // Phys. Rev. Lett. – 1996. – **77**. – P. 3865.
23. Monkhorst H.J., Pack J.D. // Phys. Rev. B. – 1976. – **13**. – P. 5188 – 5192.
24. Onida G., Reining L., Rubio A. // Rev. Mod. Phys. – 2002. – **74**. – P. 601.
25. Hedin L., Lundqvist S. // Solid State Phys. – 1970. – **23**. – P. 1.
26. Marini A., Hogan C., Grüning M., Varsano D. // Comput. Phys. Commun. – 2009. – **180**. – P. 1392.
27. Vinet P., Smith J.R., Ferrante J., Rose J.H. // J. Phys. C. – 1986. – **19**. – P. L467.
28. Birch F. // Phys. Rev. – 1947. – **71**. – P. 809.
29. Zhang P., Morokuma K., Wodtke A.M. // J. Chem. Phys. – 2005. – **122**. – P. 014106.